

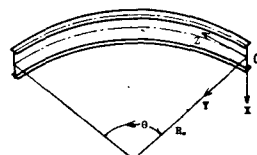
長崎大学 工学部 正員 ○栗原和夫
長崎大学 工学部 正員 島山 駿

1. まえがき 曲線荷橋の主析としての薄肉断面はりに関する研究は我が国において特に盛んに行われてゐる。曲線荷橋の型式は構造上の有利性および経済性を考慮することにより選定され、一般には、ねじりに対する抵抗の大きい箱型断面が採用される場合が多い。しかし最近比較的スパンが短く、曲率半径の大きい曲線荷橋の主析として工事が製作の容易さおよび経済性などの理由により採用される機会が多くなる、ときである。

本報告は薄肉曲線はりの幾何学的非線形性および材料非線形性を考慮したいわゆる複合非線形問題に関する解析法を提案するものである。解析に必要な薄肉曲線はりの有限変形に関する基礎微分方程式を文献(1)の変位ひずみ関係式を用い、仮想仕事の原理に階級理論を適用して導びき、更に導びかれた正規型重立微分方程式を複分方程式に変換し、この複分方程式に数値積分法を適用することにより離散的一般解を求める。又材料の非弾性化にもとづく剛性の低下は断面細分割法によることとする。

2. 増分形基礎方程式 図a 縦り薄肉曲線はりの有限変形に関するひずみ-変位関係式は次式となる。

$$\begin{aligned} \varepsilon_0 &= (w'_0 - v'_0 \frac{1}{R_0}) + \frac{1}{2} u_0^2 + x \left\{ -u'_0 \cos \varphi - (v'_0 + \frac{1}{R_0} w'_0) \sin \varphi - \frac{1}{R_0} \sin \varphi \right\} \\ &\quad + y \left\{ u'_0 \sin \varphi - (v'_0 + \frac{1}{R_0} w'_0) \cos \varphi + \frac{1 - \cos \varphi}{R_0} \right\} + \omega \left\{ -\varphi' + u'_0 \frac{1}{R_0} \right\} \\ r_s &= z \eta (\varphi' - u'_0 \frac{1}{R_0}) \text{ 断面曲率} = H (\varphi' - u'_0 \frac{1}{R_0}) \text{ 断面曲率} \end{aligned}$$



ここで ε_0 , r_s は直ひずみ、せん断ひずみであり、 u_0 , v_0 , w_0 は原点 O の x , y , z 軸方向変位、 φ は回転角であり、 $'$ は R_0 に関する微分である。上記のひずみ-変位関係式を用い、仮想仕事の原理に階級理論を適用して薄肉曲線はりの増分形基礎方程式を導びき、更に無次元化を行うと次式となる。

$$\begin{aligned} \frac{dV_x}{d\eta} &= -\frac{dV_x^0}{d\eta} - \frac{L^3}{EI_0} (g_x^0 + g_z) - \frac{L^2}{EI_0} (P_x^0 + P_z) \delta(\eta - \xi_x), \quad \frac{d\varphi}{d\eta} = \psi_x + \frac{1}{R_0 R_0} \varphi_y \quad \frac{d\varphi}{d\eta} = \frac{EI_0}{GJ_0} \frac{1}{J_x} M_x + \frac{1}{R_0 R_0} \varphi_y \\ \frac{dV_y}{d\eta} &= -\frac{1}{R_0} \frac{L}{R_0} N - \frac{dV_y^0}{d\eta} - \frac{1}{R_0} \frac{L}{R_0} N^0 - \frac{L^3}{EI_0} (g_y^0 + g_z) - \frac{L^2}{EI_0} (P_y^0 + P_z) \delta(\eta - \xi_y), \quad \frac{d\psi}{d\eta} = -\frac{I_0 L^2}{I_{yy}} \frac{1}{I_{yy}} M_{yy} \\ \frac{dN}{d\eta} &= \frac{1}{R_0} \frac{L}{R_0} V_y - \frac{dN^0}{d\eta} + \frac{1}{R_0} \frac{L}{R_0} V_y^0 - \frac{L^3}{EI_0} (g_y^0 + g_z) - \frac{L^2}{EI_0} (P_y^0 + P_z) \delta(\eta - \xi_y), \quad \frac{du}{d\eta} = \psi_y \\ \frac{dM_x}{d\eta} &= V_x - g_x^0 N + \frac{1}{R_0} \frac{L}{R_0} M_z - N \varphi_y - \frac{dM_x^0}{d\eta} + V_x^0 - N^0 \varphi_y^0 + \frac{1}{R_0} \frac{L}{R_0} M_z^0 - \frac{L^2}{EI_0} (m_x^0 + m_x), \quad \frac{dv}{d\eta} = \varphi_x - \frac{1}{R_0} \frac{L}{R_0} w \\ \frac{dM_y}{d\eta} &= V_y - \frac{dM_y^0}{d\eta} + V_y^0 - \frac{L^2}{EI_0} (m_y^0 + m_y), \quad \frac{dw}{d\eta} = N \frac{1}{A_v} \frac{I_0}{A_v J_z} - \varphi_y^0 \varphi_y + \frac{1}{R_0} \frac{L}{R_0} v \\ \frac{dM_z}{d\eta} &= \bar{M}_z \left\{ -\frac{d\varphi^0}{d\eta} - \frac{1}{R_0} \frac{L}{R_0} - \frac{1}{I_{xx}} M_y^0 \cos \varphi^0 - \frac{1}{I_{yy}} M_z^0 \sin \varphi^0 \right\} + \bar{M}_y \left\{ \frac{d\varphi^0}{d\eta} - \frac{1}{I_{xy}} M_y^0 \sin \varphi^0 + \frac{1}{I_{yy}} M_z^0 \cos \varphi^0 \right\} \\ &\quad + \varphi \left\{ -\frac{1}{I_{xy}} M_y^0 - \frac{1}{I_{yy}} M_z^0 - (M_y^0 \cos \varphi^0 + M_z^0 \sin \varphi^0) \left(\frac{d\varphi^0}{d\eta} + \frac{1}{R_0} \frac{L}{R_0} \right) + (M_y^0 \sin \varphi^0 - M_z^0 \cos \varphi^0) \frac{d\varphi^0}{d\eta} \right\} \\ &\quad - \frac{dM_y^0}{d\eta} - \bar{M}_z \left\{ \frac{d\varphi^0}{d\eta} + \frac{1}{R_0} \frac{L}{R_0} \right\} + \bar{M}_y \frac{d\varphi^0}{d\eta} + M_z^0 M_y^0 \left(\frac{1}{I_{xy}} - \frac{1}{I_{yy}} \right) - M_y^0 \bar{M}_y^0 \sin \varphi^0 \frac{1}{I_{xy}} - M_y^0 \bar{M}_z^0 \cos \varphi^0 \frac{1}{I_{xy}} \\ &\quad + M_z^0 \bar{M}_y^0 \cos \varphi^0 \frac{1}{I_{yy}} - M_z^0 \bar{M}_z^0 \sin \varphi^0 \frac{1}{I_{yy}} - \frac{L^2}{EI_0} (m_z^0 + m_z) \end{aligned}$$

$$\frac{dM_{yy}}{d\eta} = M_{yy} - \frac{GJ_0}{EI_0} J_y \psi_x - \frac{dM_{yy}^0}{d\eta} + M_{yy}^0 - \frac{GJ_0}{EI_0} J_y \psi_y^0 - \frac{L}{EI_0} (m_{yy}^0 + m_{yy})$$

$$\begin{aligned} \frac{d\varphi_x}{d\eta} &= \bar{M}_x \cos \varphi^0 \sin \varphi^0 \left(-\frac{1}{I_{xy}} + \frac{1}{I_{yy}} \right) + \bar{M}_y \left(-\frac{1}{I_{xy}} \sin^2 \varphi^0 - \frac{1}{I_{yy}} \cos^2 \varphi^0 \right) + \varphi \left(-\frac{1}{I_{xy}} M_y^0 \sin \varphi^0 + \frac{1}{I_{yy}} M_z^0 \cos \varphi^0 + \frac{d\varphi^0}{d\eta} \right) \\ &\quad + M_z^0 \sin \varphi^0 \frac{1}{I_{xy}} + M_y^0 \cos \varphi^0 \frac{1}{I_{yy}} + \bar{M}_z^0 \cos \varphi^0 \sin \varphi^0 \left(-\frac{1}{I_{xy}} + \frac{1}{I_{yy}} + \bar{M}_y^0 - \frac{1}{I_{xy}} \sin^2 \varphi^0 - \frac{1}{I_{yy}} \cos^2 \varphi^0 \right) \end{aligned}$$

$$\frac{d\phi_x}{d\eta} = \bar{M}_x \left(-\frac{1}{I_{xx}} \cos^2 \varphi - \frac{1}{I_{yy}} \sin^2 \varphi + \bar{M}_y \cos \varphi \sin \varphi \left(-\frac{1}{I_{xx}} + \frac{1}{I_{yy}} \right) + \varphi \left(-\frac{1}{I_{xx}} M_y \cos \varphi - \frac{1}{I_{yy}} M_x \sin \varphi - \frac{d\phi_x}{d\eta} - \frac{L}{K_u R_0} \right) - M_z^2 \cos \varphi \frac{1}{I_{xx}} - M_y^2 \sin \varphi \frac{1}{I_{yy}} + \bar{M}_y \sin \varphi \cos \varphi \left(-\frac{1}{I_{xx}} + \frac{1}{I_{yy}} \right) + \bar{M}_z \left(-\frac{1}{I_{xx}} \cos^2 \varphi - \frac{1}{I_{yy}} \sin^2 \varphi \right) \right)$$

ここで $A_u, R_0, I_{xx}, I_{yy}, J_c$ は各々、断面積、曲率半径、断面2次モーメント、回転ねじり剛性、St Venantのねじり剛性に関する基準量である。また M_x, M_y と \bar{M}_x, \bar{M}_y との関係は次式となる。

$$M_x = \bar{M}_x \cos \varphi + \bar{M}_y \sin \varphi - M_x^2 + M_y^2 + \bar{M}_x^2 \cos \varphi + \bar{M}_y^2 \sin \varphi, M_y = \bar{M}_y \cos \varphi - \bar{M}_x \sin \varphi - M_x^2 \varphi + \bar{M}_y^2 \cos \varphi - \bar{M}_x^2 \sin \varphi$$

3. 基礎微分方程式の離散的・一般解⁽²⁾

薄肉曲線はりの有限要素に圍むる正規型微分方程式を変域 $[0, \eta]$ で積分し、複合方程式に変換する。この複合方程式に数値積分法を適用することにより、部材断面等分の仕事等分点上にあける離散的一般解が右式のごとく表わせられ又要素 a_{11}, \dots, a_{16} は部材断面を要素上にとると、仕事等分点上にあける諸量 V_{111}, \dots, V_{116} は右支点にあける諸量 V_{111}, \dots, V_{116} に奥番号付の要素である。

V_{111}	a_{111}	a_{121}	a_{131}	a_{141}	a_{151}	a_{161}	a_{112}	a_{122}	a_{132}	a_{142}	a_{152}	a_{162}	V_{113}	a_{113}
V_{112}	b_{111}	b_{121}	b_{131}	b_{141}	b_{151}	b_{161}	b_{112}	b_{122}	b_{132}	b_{142}	b_{152}	b_{162}	V_{114}	b_{114}
N_{111}	c_{111}	c_{121}	c_{131}	c_{141}	c_{151}	c_{161}	c_{112}	c_{122}	c_{132}	c_{142}	c_{152}	c_{162}	N_{115}	c_{115}
\bar{M}_{111}	d_{111}	d_{121}	d_{131}	d_{141}	d_{151}	d_{161}	d_{112}	d_{122}	d_{132}	d_{142}	d_{152}	d_{162}	\bar{M}_{116}	d_{116}
\bar{M}_{112}	e_{111}	e_{121}	e_{131}	e_{141}	e_{151}	e_{161}	e_{112}	e_{122}	e_{132}	e_{142}	e_{152}	e_{162}	\bar{M}_{113}	e_{113}
\bar{M}_{113}	f_{111}	f_{121}	f_{131}	f_{141}	f_{151}	f_{161}	f_{112}	f_{122}	f_{132}	f_{142}	f_{152}	f_{162}	\bar{M}_{114}	f_{114}
\bar{M}_{114}	g_{111}	g_{121}	g_{131}	g_{141}	g_{151}	g_{161}	g_{112}	g_{122}	g_{132}	g_{142}	g_{152}	g_{162}	\bar{M}_{115}	g_{115}
\bar{M}_{115}	h_{111}	h_{121}	h_{131}	h_{141}	h_{151}	h_{161}	h_{112}	h_{122}	h_{132}	h_{142}	h_{152}	h_{162}	\bar{M}_{116}	h_{116}
V_{115}	p_{111}	p_{121}	p_{131}	p_{141}	p_{151}	p_{161}	p_{112}	p_{122}	p_{132}	p_{142}	p_{152}	p_{162}	V_{116}	p_{116}
V_{116}	q_{111}	q_{121}	q_{131}	q_{141}	q_{151}	q_{161}	q_{112}	q_{122}	q_{132}	q_{142}	q_{152}	q_{162}	V_{111}	q_{111}

4. 複合非線形解析 解析上の主な仮定

1) 材料は完全弾塑性体。2) 部材断面の応力状態が非弾性域に入った後も平面保持の法則が成立する。3) 残留ひずみと荷重により主じるひずみは重ね合せが成立する。4) St Venantのねじり剛性は断面の一端に非弾性域が生じた後も変化しないものとする。5) 断面の各要素の降伏は、主ひずみの2次元で進行する。

各荷重段階での各非弾性剛性値は次の手順により求められる。

(i) 薄肉曲線はりの補断面を微小要素 ΔA_{ij} に細分割する。

(ii) ある荷重段階ごとの荷重増分に対する、各微小要素 ΔA_{ij} の増分ひずみ $\Delta \varepsilon_{ij}$ を次式より求めめる。

$$\Delta \varepsilon_{ij} = \frac{T_e}{A_e L^2} \frac{1}{A_v} N + \frac{1}{I_{xx}} \frac{1}{L} M_x \cdot x + \frac{1}{I_{yy}} \frac{1}{L} M_y \cdot y + \frac{T_e}{I_{xx} I_{yy}} \frac{1}{L} M_w \cdot \omega$$

(iii) 増分ひずみ $\Delta \varepsilon_{ij}$ に前荷重段階での全ひずみ ε_{ij}^* を加えたひずみを現荷重段階での全ひずみ ε_{ij} とすと

$$\varepsilon_{ij} = \varepsilon_{ij}^* + \Delta \varepsilon_{ij}$$

(iv) 仮定 (i) より材料の降伏は直ひずみのみで判定を行ふ。 $\sigma_{ij} = E \varepsilon_{ij}$ $|\varepsilon_{ij}| \leq \varepsilon_y$

$$\sigma_{ij} = \sigma_y \quad |\varepsilon_{ij}| \geq \varepsilon_y$$

(v) 降伏を考慮した各微小要素 ΔA_{ij} の応力を断面全体について積分し、任意等分点上にあける各々の断面を次式のごとく求める。

$$\bar{N} = \int \sigma \, dA = \sum_{i=1}^n \sum_{j=1}^m \sigma_{ij} \Delta A_{ij} \quad \bar{M}_x = \int \sigma x \, dA = \sum_{i=1}^n \sum_{j=1}^m \sigma_{ij} x_{ij} \Delta A_{ij}$$

$$\bar{M}_y = \int \sigma y \, dA = \sum_{i=1}^n \sum_{j=1}^m \sigma_{ij} y_{ij} \Delta A_{ij} \quad \bar{M}_w = \int \sigma \omega \, dA = \sum_{i=1}^n \sum_{j=1}^m \sigma_{ij} w_{ij} \Delta A_{ij}$$

(vi) 任意等分点上にあける各剛性低減率は次式より求まる。

$$A_v = \frac{\bar{N}}{N^* + N} \frac{L^2}{E I_e} A_v^*, \quad I_{xx} = \frac{\bar{M}_x}{M_x^* + M_x} \frac{L}{E I_e} I_{xx}^*, \quad I_{yy} = \frac{\bar{M}_y}{M_y^* + M_y} \frac{L}{E I_e} I_{yy}^*, \quad I_{av} = \frac{\bar{M}_w}{M_w^* + M_w} \frac{1}{E I_e} I_{av}^*$$

5. 計算例 解析モデルは工型断面を有し、両端単純支持で部材中央に单一集中荷重が作用する圓盤はりである。

なお本報では円盤面は省略した。

参考文献

(1) 藤木: 工論 263 1977

(2) 岸山: 実験: 長大橋梁 2号 1977

(3) 西田: 名古屋大博論 1980

(4) 金子, 今井, 西田: 第34講義 1979

